

К. В. ТОПЧИЕВА, ХО ШИ ТХОАНГ

О РОЛИ КАТИОНОВ В КАТАЛИТИЧЕСКОЙ АКТИВНОСТИ
ЦЕОЛИТОВ ТИПА У РАЗЛИЧНОГО СОСТАВА

(Представлено академиком С. И. Вольфковичем 2 XI 1970)

Вопрос о природе катализитической активности кристаллических алюмосиликатов в реакциях углеводородов является далеко неясным. Если к декатионированным цеолитам можно применить определенную гипотезу — о кислотном механизме реакций углеводородов, аналогичную той, которая принята для аморфных алюмосиликатов⁽¹⁾, то распространить ее без противоречий на цеолиты, содержащие ионнообменные катионы, трудно. Казалось бы, зависимость катализитической активности цеолитов от поляризующего действия катионов очевидна⁽²⁻⁴⁾, однако этот вопрос на самом деле достаточно сложен. Действительно, влияние поливалентных катионов на катализитические свойства представляется очень важным и зависит от многих факторов, связанных как с типом цеолита, так и с особенностями замещающих катионов⁽⁵⁾ (валентность, размер катионов, специфичность их расселения в цеолите, соотношение $\text{SiO}_2 / \text{Al}_2\text{O}_3$ и др.).

В настоящей работе поставлена задача проследить влияние природы вводимых катионов и степени обмена на катализитическую активность цеолитов с различным соотношением $\text{SiO}_2 / \text{Al}_2\text{O}_3$. Это влияние прослежено на катион-декатионированных формах цеолитов в различных сочетаниях катионных и декатионированных участков. Катион-декатионированные цеолиты представляют большой интерес в связи с их высокой активностью, селективностью и стабильностью в реакциях углеводородов^(6, 7). В качестве модельной реакции выбрана реакция крекинга кумола. Цеолиты различных соотношений $\text{SiO}_2 / \text{Al}_2\text{O}_3$ получались путемdealюминирования натриевой формы цеолита с соотношением $\text{SiO}_2 / \text{Al}_2\text{O}_3 = 4,5$ ⁽⁸⁾.

В работе сравнивали декатионированные, катионные и катион-декатионированные формы цеолитов. Введение катионов в цеолиты осуществляли путем обработки натриевой формы растворами хлоридов соответствующих катионов (NH_4Cl , CaCl_2 , LaCl_3). Чисто декатионированные, так называемые сверхстабильные^(9, 10), цеолиты получали по методике⁽⁹⁾ с промежуточным прокаливанием образцов при 550° в течение 2 час. после замещения ионов натрия на ион аммония 82—85 %. Остаточный натрий удаляли обработкой раствором NH_4Cl . Катион-декатионированные цеолиты получали из катионных образцов путем их дополнительного декатионирования⁽⁷⁾. В табл. 1 приведены состав исследованных цеолитов и их кинетические характеристики.

Катализитическую активность цеолитов определяли импульсным микрокатализитическим методом⁽¹¹⁾. Экспериментальные данные обрабатывали по уравнению первого порядка⁽¹²⁾. В качестве газа-носителя использовали гелий. Регенерацию катализаторов после опытов проводили в токе увлажненного воздуха⁽⁸⁾.

Нами было показано⁽⁸⁾, что как для декатионированных, так и для катионных форм зависимость стабильной активности цеолитов от соотношения $\text{SiO}_2 / \text{Al}_2\text{O}_3$ имеет экстремальный ход с максимумом при соотношении, равном примерно 8 (исходный цеолит имел соотношение $\text{SiO}_2 / \text{Al}_2\text{O}_3 = 4,5$). Поскольку в этих образцах помимо декатионированных участков и участ-

Таблица 1

Состав и кинетические характеристики исследованных цеолитов

№ обр.	Образец	Степень замещения			$\text{SiO}_2/\text{Al}_2\text{O}_3$	$E_{\text{эф.}}$ ккал/моль *	$kK \cdot 10^5 **$, моль·сек ⁻¹ · ·атм ⁻¹ ·г ⁻¹
		на NH_4^+	на Ca^{2+} или La^{3+}	суммарная			
1	NaLaY-30	—	30	30	4,5	13	12,4
2	NaLaY-55	—	55	55	4,5	14	16,8
3	NaLaY-69	—	69	69	4,5	14	27,3
4	NaLaY-27	—	27	27	9,2	22 (14)	4
5	NaLaY-56	—	56	56	9,2	22 (15)	8
6	NaLaY-69	—	69	69	9,2	14	24
7	NaHY-56	56	—	56	9,2	16	27,4
8	LaHY-42	42	56	98	9,2	10	320
9	HY-98	98	—	98	9,2	13	265
10	HY-97	97	—	97	7,9	10	242
11	HY-98	98	—	98	5,5	10	230
12	HY-98	98	—	98	4,5	11	270
13	LaHY-67	67	30	97	7,9	10	284
14	LaHY-42	42	55	97	7,9	10	310
15	LaHY-23	23	74	97	7,9	10	297
16	CaHY-67	67	30	97	7,9	9	415
17	CaHY-42	42	55	97	7,9	10	310
18	CaHY-16	16	80	96	7,9	11	232

* В скобках указаны значения, полученные на нерегенерированных образцах.

** Представленные значения kK относятся к образцам, прошедшим многократный цикл регенераций и работавшим со стабильной активностью, $t = 395^\circ \text{C}$.

ков с поливалентными катионами содержитится достаточно большое количество катионов натрия (15–30%), интересно исследовать образцы, свободные от натрия, т. е. полностью декатионированные. Приведенные в табл. 1 (см. обр. №№ 9–12) данные показывают, что стабильная активность таких образцов с различными соотношениями $\text{SiO}_2/\text{Al}_2\text{O}_3$ практически не различается. Изменение наблюдаемых энергий активации при переходе от одного образца к другому составляет незначительную величину, лишь на образце с соотношением $\text{SiO}_2/\text{Al}_2\text{O}_3 = 9,2$ наблюдается несколько повышенное значение $E_{\text{эф.}}$. Из сопоставления этого результата с полученными нами ранее данными по активности образцов с меньшей степенью декатионирования (80–85%), для которых четко отмечалось влияние соотношения $\text{SiO}_2/\text{Al}_2\text{O}_3$ на активность, следует, что это различие обусловлено остаточным содержанием катионов натрия и зависит от соотношения $\text{SiO}_2/\text{Al}_2\text{O}_3$, по-разному влияющих на стабильность структуры цеолитов и их активность. Как показали данные рентгеноструктурного анализа *, кристаллическая структура полностью декатионированных образцов (№№ 9–12), в отличие от частично декатионированных цеолитов, подвергается разрушению уже в ходе работы при сохранении высокой и стабильной активности — факт сам по себе очень интересный. Поскольку активность этих цеолитов значительно превосходит активность аморфного алюмосиликата (примерно на порядок), следует предположить, что в данном случае катализ идет на мелких кристаллитах цеолита, структура которого является рентгеноаморфной.

Интересная картина наблюдается при сопоставлении двух серий лантановых цеолитов с соотношениями $\text{SiO}_2/\text{Al}_2\text{O}_3$, равными 4,5 и 9,2 соответственно. На рис. 1 представлены температурные зависимости стабильной активности этих двух серий со степенями обмена, равными 30, 55, 69% для образцов с соотношениями $\text{SiO}_2/\text{Al}_2\text{O}_3 = 4,5$ и 27, 56, 69% для образцов с

* Рентгенографическое исследование проводила О. Н. Розанова, которой авторы выражают благодарность.

соотношением $\text{SiO}_2 / \text{Al}_2\text{O}_3 = 9,2$. Обращает на себя внимание тот факт, что в образцах лантановых цеолитов со степенями обмена 27 и 56% при соотношении $\text{SiO}_2 / \text{Al}_2\text{O}_3 = 9,2$ наблюдается увеличение значений энергии активации при стабилизации активности, т. е. по мере увеличения числа циклов регенераций катализаторов. Как уже предполагалось нами (8), такое

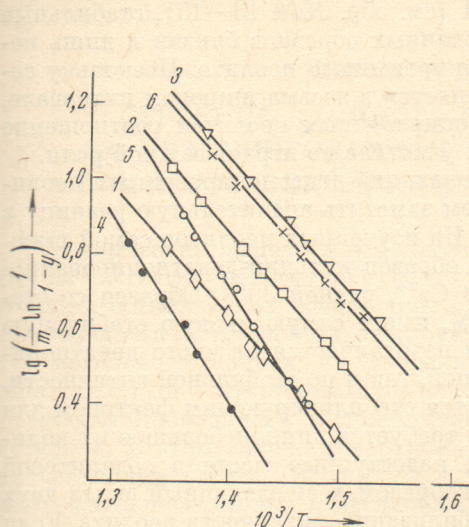


Рис. 1. Температурная зависимость стабильной активности лантановых цеолитов. 1–6 — номера образцов (см. табл. 1). Объяснение в тексте

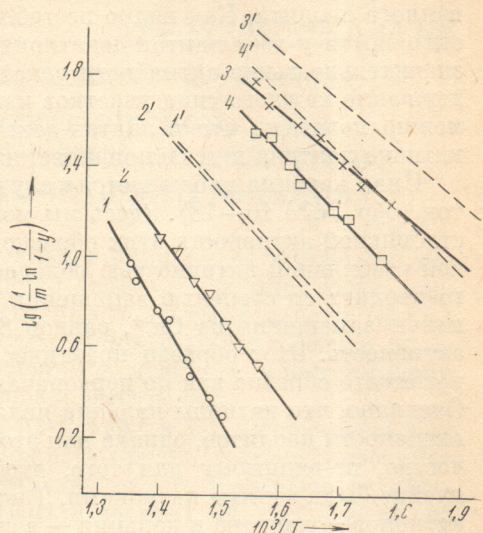


Рис. 2. Температурная зависимость активности обр. № 5 (1, 1'), № 7 (2, 2'), № 8 (3, 3') и № 9 (4, 4'). 1'—4' — перегенерированные образцы. Объяснение в тексте

наблюдение может быть обусловлено миграцией катионов при прокаливании образца цеолита в ходе периодических регенераций. Возможно также, что поскольку в деалюминированных цеолитах катионная плотность намного меньше, чем в цеолитах с меньшими соотношениями $\text{SiO}_2 / \text{Al}_2\text{O}_3$, при введении небольшого количества катионов лантана их стабилизирующее действие на гидроксильные группы — активные центры — ослаблено, и поэтому в процессах регенераций по мере дегидроксилирования поверхности во взаимодействие с молекулами реагирующего вещества вступают центры иной природы — акцепторные центры, которыми являются катионы. Это влияние, связанное с изменением энергии активации при периодических регенерациях, полностью отсутствует для цеолита с соотношением $\text{SiO}_2 / \text{Al}_2\text{O}_3 = 4,5$. Таким образом, влияние катионов лантана на катализическую активность цеолитов существенно зависит от соотношения $\text{SiO}_2 / \text{Al}_2\text{O}_3$. Здесь важную роль играет, по-видимому, катионная плотность.

На рис. 2 представлена температурная зависимость активности серии образцов с соотношением $\text{SiO}_2 / \text{Al}_2\text{O}_3 = 9,2$, содержащих как катионы лантана, так и декатионированные участки. Как видно, декатионированный образец обладает большей активностью по сравнению с лантановым при одинаковой степени замещения, однако дальнейшее декатионирование этих образцов приводит к обратному порядку активности; лантан — декатионированный цеолит имеет более высокую эффективную константу скорости и более низкое значение наблюдаемой энергии активации по сравнению с чисто декатионированным образцом. Этот факт говорит о различном вкладе каждого типа участков — декатионированных и катионных — в активность цеолита. Следует отметить, что при декатионировании лантанового образца (№ 5) активность резко увеличивается со снижением наблюдаемой энергии активации от 22 до 11 ккал/моль. Это указывает на важную роль декатионированных участков как преобладающего фактора в активности цеолита.

Большой интерес представляют результаты, полученные на лантан-декатионированных и кальций-декатионированных образцах с соотношением $\text{SiO}_2 / \text{Al}_2\text{O}_3 = 7,9$. Прежде всего следует отметить, что для каждой серии первоначальная активность у всех катион-декатионированных образцов практически одинакова и не отличается от таковой для чисто декатионированного цеолита. Как видно из табл. 1 (см. обр. №№ 13—15), стабильные активности у всех лантан-декатионированных образцов близки и лишь незначительно выше активности декатионированного цеолита. Поскольку содержание каждого типа участков изменяется в весьма широком интервале, можно полагать, что в лантан-декатионированных цеолитах соотношение катиона лантана и декатионированных участков не играет важной роли.

Иная картина наблюдается в случае кальций-декатионированных цеолитов (обр. №№ 16—18). Здесь мы можем заметить значительную разницу в стабильной активности этих образцов. Из изученных цеолитов самой высокой стабильной активностью обладает образец кальций-декатионированного цеолита со степенью замещения на Ca^{2+} , равной 30 %. Образец со степенью замещения на Ca^{2+} , равной 80 %, имеет самую низкую стабильную активность. Этот образец практически не отличается от чисто декатионированного образца как по первоначальной, так и по стабильной активности. Очевидно, что катионы кальция являются стабилизирующими фактором для активности цеолитов, однако для этого требуется лишь небольшое их количество, по-видимому для того, чтобы недоступные места в содалитовой ячейке были заняты катионами. Таким образом, ясен различный вклад двух катионов — лантана и кальция — в стабилизацию активности цеолита. Если в случае лантан-декатионированных цеолитов сочетание катионных и декатионированных участков не имеет существенного значения, то в случае кальций-декатионированных цеолитов это сочетание становится важным фактором, определяющим стабильную активность цеолита, и образец со степенью замещения на Ca^{2+} , равной 30 % (№ 16), оказывается самым активным. Причина различия во влиянии указанных катионов на каталитическую активность цеолита заключается в различном расселении их в решетке последнего.

Московский государственный университет
им. М. В. Ломоносова

Поступило
29 X 1970

ЦИТИРОВАННАЯ ЛИТЕРАТУРА

- ¹ Б. В. Романовский, Хо Ши Тхоанг и др., Кинетика и катализ, 7, 841 (1966). ² К. В. Топчиева, Б. В. Романовский и др., IV Международн. конгресс по катализу, М., 1968, Препринт № 57. ³ П. Н. Галич, И. Т. Голубченко и др., ДАН, 161, 627 (1965). ⁴ Х. М. Миначев, В. И. Гаранин, Я. И. Исаков, Нефтехим., 6, 53 (1966). ⁵ М. Н. Жаворонков, Е. Н. Росоловская, К. В. Топчиева, Кинетика и катализ, 10, 225 (1969). ⁶ J. N. Miale, N. J. Chen, P. B. Weisz, J. Catal., 6, 278 (1966). ⁷ К. В. Топчиева, Е. Н. Росоловская, ЖФХ, 44, 870 (1970). ⁸ К. В. Топчиева, Хо Ши Тхоанг, Кинетика и катализ, 11, 490 (1970). ⁹ Пат. США 3375065, 1968; РЖХим. 21, Л 176П (1969). ¹⁰ G. Кегг, J. Phys. Chem., 73, 2780 (1969). ¹¹ Е. Г. Борескова, К. В. Топчиева, Л. И. Пигузова, Кинетика и катализ, 5, 903 (1964). ¹² D. W. Bassett, H. W. Habgood, J. Phys. Chem., 64, 769 (1960).